

電々公社 正員 伊藤和五郎

〃 〃 山田恵男

〃 〃 〇青木輝雄

1. まえがき

公社における通信ケーブル用の地下道(洞道)工事に使用している鋼製セグメントの土中における応力状態を調査するため、昭和40年度から4現場(東京3、大阪1)8測定点についてセグメントに作用する土圧、間隙水圧 および各部材に発生する応力度(主桁の内縁応力、リブ材の圧縮応力)等の現場測定を実施してきた。そのうち主として昭和42年度から実施中の十三局(大阪)および新宿局(東京)の各測定点の結果について報告する。

2. 測定現場の状況

十三局はセグメントの外径:3,900mm、洞道延長約200mであり、また測定点附近の土層分布は、図-1に示すように、深さ8.0~9.0mを境にして上部の砂質土と下部の粘性土に大別される。シールド貫通の層となった粘土質シルト層の土質は表-1に示す。上部の砂質土はN値ち~20程度で砂としては比較的小さく緩い層と考えられる。なお施工にあたっては坑内に平均0.4kg/cm<sup>2</sup>の圧気がかけられた。

新宿局のセグメント外径は4,200mm、洞道総延長1,000m(そのうち約700mは外径3,350mm)であり、測定点附近の土層分布は図-2に、またシールド推進の層となった深さ12.0~15.5mの土質は表-1に示す。掘削断面下部の砂層は、N値10~20と緩く、自立性のない土質であり、砂礫層は最大粒径60mm、平均粒径10~20mm、N値が30~50程度であった。十三、新宿両現場のシールド推進状況は、平面的には直線であり、縦断的には0.3%の上り勾配であった。

3. 測定項目

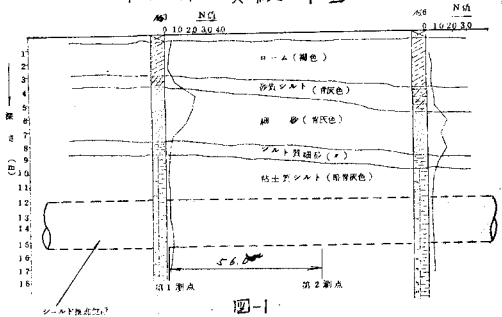
土圧、間隙水圧、セグメント主桁の内縁応力度、推力によるリブ材の圧縮応力度および二次覆工コンクリートの内部応力等であった。

なお使用したセグメントの構造は写真-1(A型セグメント)に示す。

4. 計器取付位置

セグメントの頂点を始点として、土圧計は45°ピッチに8ヶ、水圧計は90°ピッチに4ヶ、内縁応力計

十三局土質縦断面図



新宿局土質縦断面図

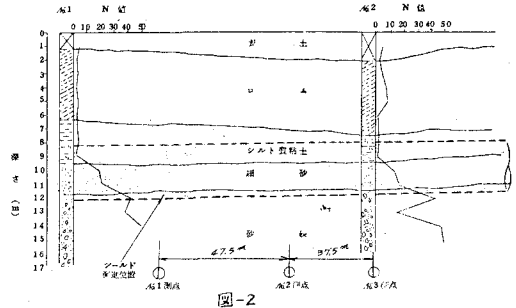


表-1

試料の種類	十三局		新宿局	
	粘土質シルト	シルト質粘土	細砂	粗砂
採取深度(m)	120~150	8.0~9.5	2.5~12.0	
自然含水比(%)	60~62	103.3	36.1	
自然密度(t/m <sup>3</sup> )	1.620~1.630	1.690		
塑性指数	21~39	58	20	
粒度分析(%)	粘土 33~40 砂 5~8 シルト 50~60	粘土 69 砂 3 シルト 28	石礫 18 砂 68 シルト 14	
鋭敏比	12~15	4.18		
潤滑摩擦角	0~1°05'	18°00'		
粘着力(kg/cm <sup>2</sup> )	0.30~0.45	0.33		
圧縮指数	0.55~0.70	1.290		

(歪計)は30°ピッチに12ヶ、コンクリートの内部応力計(歪計)は30°ピッチで12ヶ(コンクリート巻厚の中心に設置)、さらにリブ材の応力計(歪計)は15°ピッチで24ヶ各々取付た。

なお使用計器はリブ材応力の測定にはワイヤストレッチエージを用い、その他は長期測定にそなえてカールソン型計器を使用した。

5 計器の基準点(0点)

各計器は大気圧、無負荷の状態(試験用セグメントリングがシールド機械のテール内にあるとき)基準点を測定したものであり、十三局の場合は平均0.4 kg/cm<sup>2</sup>の坑内圧気がかけられたが、基準点の測定時は未だ圧気の準備中で気圧はかかっていなかった。なお内縁応力についてはセグメントがシールドテール内で組立てが完了したときを基準点にしたため、自重による応力は無視されている。

### 6. 測定結果および考察

図-3, 図-4は十三才1測点および新宿才1測点の土圧の経時変化を示す。図-3において圧気中の土圧の変化がHouselの測定結果とは少し異なり、測定値がかなり大きい値を示している。これは途中から(掘削後約10日後)から圧気工法を甲いたため、圧気圧が加算されて測定されたものと考えられる。しかし

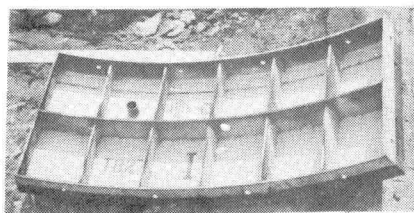
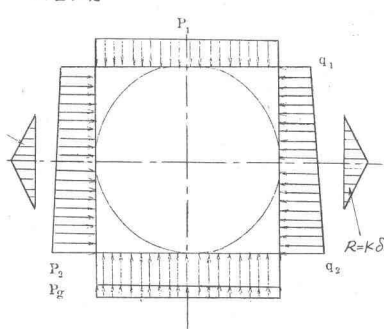


写真-1

荷重状態



セグメントの単位重量  $q$  下面荷重  $P_2$   
 シールド半径  $r$  側面荷重  $q_1, q_2$   
 地盤反力係数  $K$  セグメントの変位  $\delta$   
 上面荷重  $P_1$

図-6

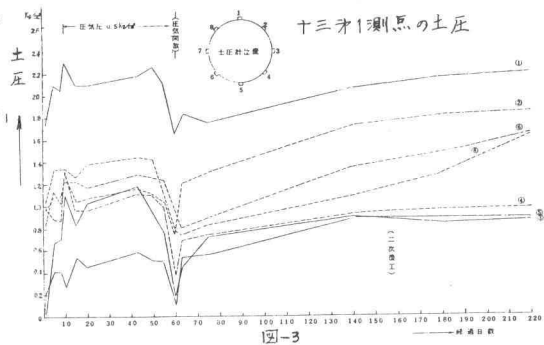


図-3

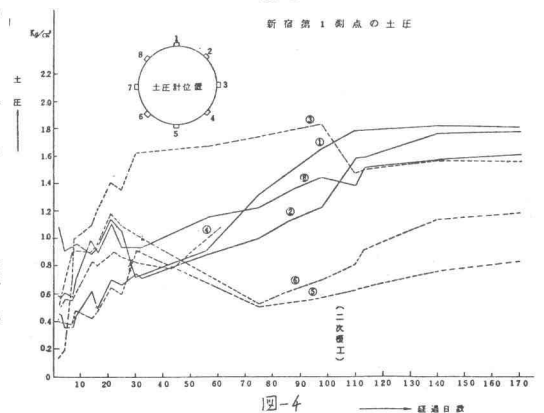


図-4

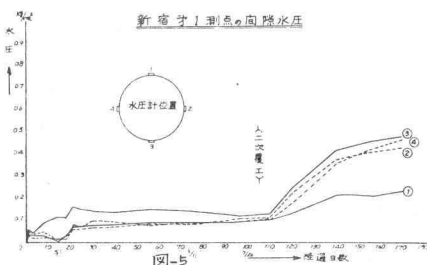


図-5

十三才1測点の土圧分布

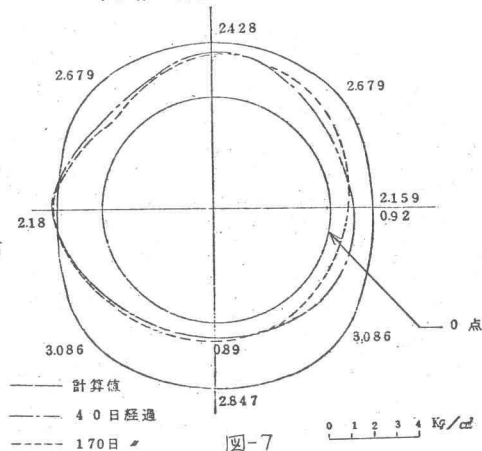


図-7

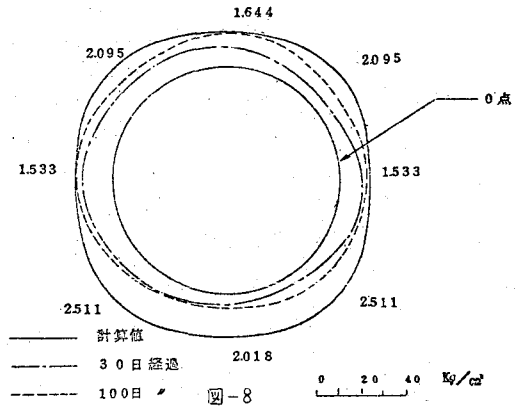
圧気中のセグメントに作用する土圧は、増加の傾向にあるが比較的安定している。また圧気解放時点でその安定状態が崩れ、その後は徐々に新しい平衡状態に近づきつゝある。測定値は初期の段階（取付時から約15日間）において激しく変動している。これは取付時に計器を地山へ押しつけ、その力が解放されたこと、推力の影響によりセグメント全体がリング推進ごとに変位したこと、ならびに、地山のハダ落ちによる急激な土圧の変化等が重なりあったものと考えられる。しかし本測定結果からすると、土質の差および施工条件の多少の差はあっても土圧は100~150日後には安定状態に達するものと考えられる。

図-5は新宿第1測点の間隙水圧の経時変化を示す。圧気工法を用いない場合、一次覆工中の間隙水圧は極めて小さく、設計上ほとんど無視できる程度である。しかし二次覆工後は徐々に増加してほぼ理論値に近づく。この傾向は他の測定点についても同様である（図は略）。これは一次覆工中は坑内への湧水により水位が低下していたが、二次覆工と同時に次第に復元してきたものと考えられる。

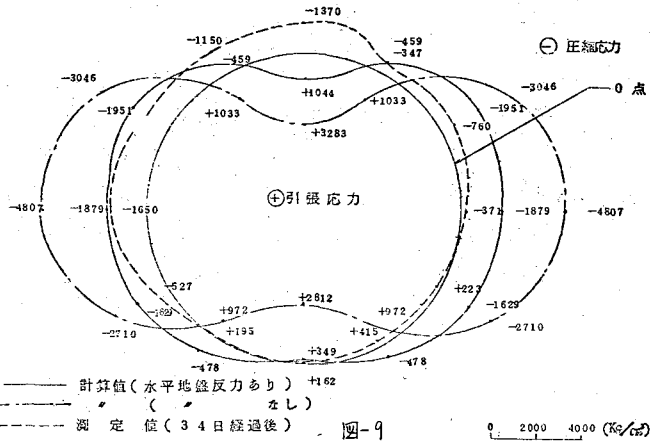
図-7は十三局第1測点の40日（圧気圧0.4kg/cm<sup>2</sup>）および170日（大気圧）経過後の土圧の分布状態を、また図-8は新宿局第1測点の30日および100日経過後の土圧の分布状態とを計算値と比較したものである。なお計算値は全土覆りにゆるみが発生するとして（十三局の実施設計はTerzaghiの土のゆるみ高さも考慮して設計）図-6に示す荷重状態に基き計算したものである。

実測値は測方土圧が大きく、主動土圧が大きく作用しているものと考えられる。100日以後の頂部土圧の測定値は十三、新宿ともに計算値に近く、土覆り全体にゆるみが発生している事を示している。

新宿第1測点の土圧分布



十三第1測定の内線応力の分布



新宿第1測点の内線応力分布

